

ORIGINAL ARTICLE

Sonocatalytic Removal of Diazinon from Aqueous Solutions Using Zinc Oxide Immobilized on Polyethylene TerephthalateMahsa Pourrahmati-Shiraz¹Azita Mohagheghian²Mehdi Shirzad-Siboni²¹ MSc in Environmental Health Engineering, School of Health, Guilan University of Medical Sciences, Rasht, Iran² Associate Professor, Research Center of Health and Environment, Department of Environmental Health Engineering, School of Health, Guilan University of Medical Sciences, Rasht, Iran

(Received February 20, 2024; Accepted May 11, 2024)

Abstract

Background and purpose: Pesticides are well-known for their carcinogenic, mutagenic, and teratogenic properties, and they exhibit resistance to environmental degradation. Organophosphorus compounds represent one of the largest and most diverse groups of pesticides globally. Diazinon, an organophosphorus pesticide widely used in agriculture, was selected as the target pollutant for the present study.

Materials and methods: The co-precipitation method was employed to synthesize zinc oxide nanocomposites coated on polyethylene terephthalate (PET). Subsequently, the nanoparticle structure was analyzed using XRD, FT-IR, SEM, and EDX analyses. The efficiency of diazinon sonocatalytic removal by zinc oxide nanocomposites coated on PET was investigated, and the impact of various parameters, including pH (3-11), nanocomposite dosage (0.2-2.5 g/L), initial diazinon concentration (5-50 mg/L), contact time (5-60 min), hydrogen peroxide concentration (2-50 mM), different gases (oxygen and nitrogen gas (2 L/min)), organic compounds (folic acid, citric acid, humic acid, EDTA, oxalate acid, phenol), radical scavengers (ammonium oxalate as h⁺ scavenger, benzoquinone as O₂⁻ scavenger, tert-butyl alcohol as 'OH scavengers), various processes (PET, US, PET/US, ZnO, ZnO-PET, ZnO/US, ZnO-PET/US), and recycled experiment, was evaluated. Firstly, the pH optimum was acquired to be 5, with changing pH and constant nanocatalyst dosage and initial diazinon concentration. The effects of different parameters on the removal of diazinon were investigated at the constant value of pH. Diazinon residual concentration was measured by a spectrophotometer (UV/VIS, DR5000) at a wavelength of 295 nm.

Results: FT-IR and XRD analyses confirmed the coating of ZnO nanorods onto PET. Under optimal conditions, initial diazinon concentration of 20 mg/L, pH of 5, and nanocomposite dosage of 2.5 g/L for 60 minutes the sonocatalytic removal efficiency of diazinon reached 99.81%. The removal efficiency decreased from 100 to 40.15% as the diazinon concentration increased from 5 to 100 mg/L. The first-order rate constant (k_{obs}) decreased from 0.123 to 0.0086 min⁻¹, while R² decreased from 0.985 to 0.9152, and electrical energy per order (E_{E0}) increased from 181.073 to 2589.77 kWh.m⁻³ with increasing diazinon concentration. The sonocatalytic removal of diazinon increased with rising H₂O₂ concentration up to 5 mM. However, the addition of organic compounds and nitrogen gas led to a decrease in diazinon removal efficiency. The effectiveness of processes for pesticide removal from drinking water decreased due to anions scavenger activity. Examination of radical scavengers revealed that •OH radicals were the most active in diazinon removal. Notably, proper sonocatalytic activity in diazinon removal was observed even after six successive cycles. Intermediate products identified by GC-MS in the sonocatalytic removal process included diazoxon, IMP, hydroxy-diazinon, and diazinon-methyl-ketone.

Conclusion: The findings suggest that zinc oxide coated on polyethylene terephthalate, as an affordable, practical, and environmentally friendly material, exhibits satisfactory efficiency for the sonocatalytic removal of diazinon from water environments.

Keywords: diazinon, advanced oxidation processes, zinc oxide-polyethylene terephthalate, sonolysis, kinetic

J Mazandaran Univ Med Sci 2024; 34 (233): 163-181 (Persian).

Corresponding Author: Mehdi Shirzad-Siboni - Research Center of Health and Environment, Guilan University of Medical Sciences, Rasht, Iran (E-mail: mshirzadsiboni@gums.ac.ir)

حذف سونوکاتالیستی دیازینون از محیط های آبی با استفاده از نانوذرات اکسید روی پوشش داده شده بر روی پلی اتیلن ترفتالات

مهسا پور رحمتی شیراز^۱آریتا محققیان^۲مهندی شیرزاد سیبینی^۲

چکیده

سابقه و هدف: آفت کش ها به عنوان ترکیبات سرطان زا، جهش زا و ناهنجاری زا به خوبی شناخته شده هستند و در برابر تحریب در محیط مقاوم هستند. ترکیبات ارگانوفسفره از بزرگترین و متنوع ترین گروه آفت کش ها در جهان هستند. دیازینون به عنوان یک آفت کش ارگانوفسفره، به طور گسترده در کشاورزی مورد استفاده قرار میگیرد و در مطالعه حاضر به عنوان آلاینده هدف مورد آزمایش قرار گرفت.

مواد و روش ها: در این مطالعه تجربی، روش هم رسوی برای تولید نانو کامپوزیت اکسید روی پوشش داده شده بر روی پلی اتیلن ترفتالات مورد استفاده قرار گرفت. سپس ساختار نانو کامپوزیت توسط آنالیزهای XRD، FT-IR و SEM و EDX مورد بررسی قرار گرفت و پس از آن کارایی حذف سونوکاتالیستی دیازینون توسط نانو کامپوزیت اکسید روی-پلی اتیلن ترفتالات بررسی گردید و تاثیر پارامترهای مختلف شامل، pH اولیه (۱۱-۳)، مقدار نانو کامپوزیت (۰/۲-۰/۵ mg/L)، غلظت اولیه دیازینون (۰/۵-۰/۵۰ mg/L)، زمان تراس (۰/۵-۰/۶۰ دقیقه)، پراکسید هیدروژن (۰/۵-۰/۵۰ mM)، گازهای مختلف (اکسیژن و نیتروژن (۰/۲ L/min)، ترکیبات آلی (فولیک اسید، سیتریک اسید، هیومیک اسید، اتیلن دی آمین ترا اسیدیک اسید، اسید اگزالات، فل)، به دام اندازهای رادیکالی (بنزوکینون (BQ)، آمونیوم اگرالات (AO)، ترت بوتیل الکل (TBA)، به ترتیب به عنوان به دام انداز سوپراکسید (O₂⁻)، حفره (h⁺) و هیدروکسیل (OH))، فرایندهای مختلف (پلی اتیلن ترفتالات، امواج اولتراسونیک، پلی اتیلن ترفتالات/ امواج اولتراسونیک، اکسیدروی، اکسیدروی-پلی اتیلن ترفتالات، اکسید روی/ امواج اولتراسونیک، اکسید روی-پلی اتیلن ترفتالات/ امواج اولتراسونیک) و آزمایش بازیافتنی مورد ارزیابی قرار گرفت. ابتدا با تغییر دادن pH نمونه ها، کارایی سایر پارامترها بر روی حذف دیازینون مورد بررسی قرار گرفت. ۵ به دست آمد. سپس با ثابت نگه داشتن pH نمونه ها، کارایی سایر پارامترها بر روی حذف دیازینون مورد بررسی قرار گرفت. اندازه گیری غلظت باقیمانده دیازینون توسط دستگاه اسپکتروفوتومتر (UV/VIS, DR5000) در طول موج ۲۹۵ nm صورت گرفت.

یافته ها: نتایج حاصل از آنالیز IR-FT و XRD پوشش داده شدن نانوذرات اکسید روی بر روی پلی اتیلن ترفتالات را تایید کرد. در شرایط بهینه غلظت اولیه دیازینون برابر با ۰/۲۰ mg/L، pH برابر با ۵ و مقدار نانو کامپوزیت برابر با ۰/۲۵ g/L در مدت زمان ۰/۶۰ دقیقه کارایی حذف سونوکاتالیستی دیازینون ۹۹/۸۱ درصد به دست آمد. با افزایش غلظت اولیه دیازینون از ۰/۵ mg/L کارایی حذف از ۰/۱۰ به ۰/۱۵ درصد، ضریب ثابت سینتیکی درجه ای که از ۰/۱۲۳ به ۰/۰۰۸۶ min^{-۱} به ۰/۰۰۸۶ min^{-۱} و ضریب رگرسیون (R²) از ۰/۹۸۵ به ۰/۹۱۵ کاهش و مقدار انرژی مصرفي از ۱۸۱/۰۷۳ به ۰/۷۷ kJ.m^{-۱} افزایش یافت. با افزودن پراکسید هیدروژن تا ۰/۹۱۵ کارایی حذف دیازینون افزایش یافت. کارایی حذف در حضور انواع ترکیبات آلی و گاز نیتروژن کاهش یافت. به طور کلی کارایی فرآیند در حذف دیازینون از آب شهری به دلیل فعالیت رادیکال خواری آئینه های موجود کاهش یافت. همچنین آزمایشات مربوط به دام اندازهای رادیکال نشان داد که موثرترین رادیکال در حذف دیازینون رادیکال هیدروکسل است، به طور کلی کارایی حذف دیازینون برابر با سیکل اول بعد از سیکل ششم مشاهده گردید. ترکیبات واسطه حذف سونوکاتالیستی دیازینون، دیازوکسون، ۰/۶-۶-متیل-۴-پیریمیدینول (IMP)، هیدروکسی دیازینون و دیازینون متیل کتون با استفاده از دستگاه GC-MS تعیین گردید.

استنتاج: نتایج حاکی از آن بود که اکسید روی-پلی اتیلن ترفتالات به عنوان ماده ای ارزان، کاربردی و دوستدار محیط زیست، کارایی قابل قبول برای حذف سونوکاتالیستی دیازینون از محیط های آبی را دارد.

واژه های کلیدی: دیازینون، اکسید اسیون پیشرفت، اکسید روی-پلی اتیلن ترفتالات، سونولیز، سینتیک

مولف مسئول: مهدی شیرزاد سیبینی- رشت: دانشگاه علوم پزشکی گیلان، مرکز تحقیقات بهداشت و محیط زیست

۱. کارشناسی ارشد مهندسی بهداشت محیط، دانشکده بهداشت، دانشگاه علوم پزشکی گیلان، رشت، ایران

۲. دانشیار، گروه مهندسی بهداشت محیط، مرکز تحقیقات بهداشت و محیط زیست، دانشکده بهداشت، دانشگاه علوم پزشکی گیلان، رشت، ایران

۳. تاریخ دریافت: ۱۴۰۲/۱۲/۱ تاریخ ارجاع جهت اصلاحات: ۱۴۰۳/۲/۲۱ تاریخ تصویب: ۱۴۰۳/۲/۲۲

مقدمه

آب یکی از اجزای مهم چرخه زندگی محسوب می‌شود که حفظ کیفیت، نگهداری و توسعه آن از اهمیت زیادی برخوردار است. این سرچشمۀ حیات در اثر ورود مستقیم و یا تأثیر غیرمستقیم آلاینده‌ها آلوده می‌شود. یکی از این آلاینده‌ها آفت کش‌ها هستند که به عنوان ابزاری قدرتمند برای تأمین نیازهای غذایی جمعیت در حال رشد جهان، توسعه و کاربرد فراوانی یافته‌اند.^(۱،۲) ترکیبات ارگانوفسفره، بزرگ‌ترین و متنوع‌ترین گروه آفت کش‌های موجود هستند و حدود ۴۰ درصد آفت کش‌های ثبت شده در جهان را تشکیل می‌دهند.^(۳،۴) آفت کش‌ها سلطان زا، جهش‌زا و ناهنجاری‌زا شناخته شده‌اند و به تخریب در محیط زیست مقاوم هستند.^(۵،۶) دیازینون یک آفت کش ارگانوفسفره است و به طور گسترده برای کنترل حشرات در خاک، گیاهان و اهداف عمومی دیگر استفاده می‌شود.^(۷-۹) دیازینون توسط سازمان جهانی بهداشت (WHO) به عنوان آلاینده متوسط سمی کلاس ۲ طبقه‌بندی می‌شود.^(۱۰-۱۲) طبق گزارش سازمان جهانی بهداشت (WHO) و آژانس حفاظت از محیط زیست ایالات متحده (US EPA)، حداکثر غلظت مجاز دیازینون در آب آشامیدنی ۰/۱ میکروگرم در لیتر است.^(۱۱) چندین فرآیند متدائل مثل جذب، کوآگولاسیون شیمیایی، فرآیندهای غشایی و اصلاح زیستی برای حذف دیازینون از فاضلاب‌ها وجود دارد. با این حال متداهای ذکر شده، فقط آلاینده‌ها را از فاز مایع به فاز جامد انتقال می‌دهند و زائدات ثانویه‌ای تولید می‌کنند که نیازمند تصفیه بیشتر است.^(۱۲) در دهه‌های اخیر، فرآیند اکسیداسیون پیشرفته (AOP) به دلیل تولید رادیکال‌های بسیار اکسیدکننده در شرایط محیطی، به عنوان یک روش موثر، ساده و امیدوار کننده برای تصفیه پساب‌ها و همچنین حذف آلاینده‌های مقاوم و سمعی از فاضلاب مورد توجه قرار گرفته است.^(۱۳،۱۴) سونولیز به عنوان یکی از فرآیندهای اکسیداسیون پیشرفته، به علت عدم نیاز به مواد شیمیایی به طور گستره‌ای در

فناوری نانو مورد توجه قرار گرفته است.^(۱۵) امواج مافق صوت با پدیده کاویتاسیون صوتی باعث ایجاد حباب‌هایی با ابعاد میکرو در محلول‌های آبی می‌شوند که رشد و فروپاشی این حباب‌ها باعث آزاد شدن انرژی زیادی می‌شود و نقاط داغ کوچکی با فشار زیاد ایجاد می‌کند. این نقاط داغ در کسری از ثانیه آلاینده‌ها را از بین می‌برند.^(۱۶) استفاده از امواج مافق صوت به تنها‌ی اثر بخش نیستند و دارای معایبی از جمله نیاز به زمان واکنش و انرژی الکتریکی بیشتر است. بنابراین، یکی از راه‌های حل این مشکلات استفاده از نیمه هادی‌های کاتالیزوری است.^(۱۷) با حضور نانوکاتالیزورها در حین سونولیز، می‌توان کارایی سونوکاتالیستی را با ایجاد نقاط فعال بیشتر برای هسته‌زایی، رشد و انفجار میکروحباب‌ها، که منجر به تولید رادیکال‌های واکنش‌پذیر بیشتر می‌شود، افزایش داد.^(۱۸) علاوه بر این، نانوذرات با اندازه کوچک‌تر از حباب‌های کاویتاسیون، می‌توانند به راحتی وارد منطقه بین حباب‌ها و آب شوند و به عنوان یک حامل و انتقال‌دهنده، آلاینده را با حباب‌ها تماس دهند.^(۱۹) اندازه کوچک نانوذرات، موجب توزیع زیرسطحی مؤثر و آسان آن‌ها شده در حالی که سطح مقطع بزرگ آن‌ها سبب واکنش‌پذیری بالا و تخریب سریع آلاینده‌ها می‌شود. نانوذرات آلاینده‌ها را به محصولات کم خطر احیا نموده و سپس آن‌ها را بروی خود جذب می‌کنند.^(۲۰) در میان کاتالیزورها، اکسید روی یک اکسید نیمه‌رسانا با گاف انرژی گستره (۳۵V) به دلیل ویژگی‌های شیمیایی و فیزیکی خاص، هزینه کم و غیر سرمی بودن، به طور گستره برای حذف آلاینده‌ها در فرآیند سونوکاتالیستی استفاده می‌شود.^(۲۱-۲۶) با این حال، به دلیل جداسازی و بازیابی دشوار اکسید روی از محلول، استفاده از آن به عنوان کاتالیزور در تصفیه فاضلاب محدود است. برای حل این مشکلات، نانوذرات توسط مواد دیگر دوپ یا اصلاح می‌شوند که منجر به ثبت اکسید روی بر روی بسترهای جامد مختلف می‌شود. برای ثبت اکسید روی

سونوکاتالیستی تولید شد. ساختار و مشخصات دیازینون در جدول شماره ۱ قابل مشاهده است.

جدول شماره ۱: ساختار و مشخصات دیازینون

نام	دیازینون (Diazinon)
حداکثر طول موج جذب (nm)	۲۹۵
وزن مولکولی (g/mol)	۳۰.۴۶۳
دانسیت (g/ml) (20°C)	۱/۱۱
ساختار مولکولی	

سترن نانوکامپوزیت اکسید روی پوشش داده شده بر روی پلی‌اتیلن ترفلات از ابتدا بطری‌های بازیافتی از جنس پلی‌اتیلن ترفلات پس از شستشو با آب مقطر خشک گردیده و توسط خردکن به قطعات بسیار کوچک بین ۱-۳ میلی‌متر تبدیل گردید. سپس ۱۰ گرم از پلی‌اتیلن ترفلات خرد شده همراه با پراکسید هیدروژن ۲ درصد وارد راکتور اتوکلاو هیدرورترمال ۱۰۰ میلی‌لیتر شد و راکتور درون فور با درجه حرارت ۱۸۰ درجه سلسیوس به مدت ۷ ساعت قرار داده شد. سپس پلی‌اتیلن ترفلات تولید شده از درون راکتور خارج و سپس خشک و پودر گردید. در مرحله بعد، محلول استوک کلریدروژن (۰/۱ مولار) و سدیم هیدروکسید (۰/۲ مولار) توسط حل کردن کلرید روی و سدیم هیدروکسید به طور مجزا در آب مقطر تهیه گردید. پودر پلی‌اتیلن ترفلات به نسبت ۱:۱ با محلول کلرید روی مخلوط گردید. برای ایجاد شرایط قلیایی، محلول سدیم هیدروکسید تولید شده برای تولید کامپوزیت اکسیدروی-پلی‌اتیلن ترفلات به صورت قطره‌ای به محلول اضافه شد و به وسیله یک همزن مغناطیسی هم زده شد. سپس سوپاپانیون برای جداسازی ناخالصی‌ها توسط آب مقطر آب کشی شد و در فور در ۱۰۰ درجه سلسیوس به مدت ۴ ساعت خشک گردید و

می‌توان از جاذب‌های طبیعی یا مواد بی‌اثر به عنوان تکیه‌گاه استفاده کرد. از ویژگی‌های یک تکیه‌گاه مناسب می‌توان به قیمت پایین، مقاومت، دوام، لختی و سطح قابل توجه اشاره کرد (۲۷). پلی‌اتیلن ترفلات (PET) یکی از بزرگ‌ترین مواد پلیمری است که قابلیت بازیافت دارد. از جمله کابردی‌های پلی‌اتیلن ترفلات استفاده از آن در ساخت بطری‌های آب معدنی است. به دلیل استفاده گسترده از بطری‌های آب معدنی و همچنین عدم تجزیه زیستی، پلی‌اتیلن ترفلات به یک مشکل بزرگ زیست محیطی تبدیل شده است (۲۹، ۲۸). بنابراین می‌توان از آن به عنوان پشتیبان مناسب برای نانوذرات استفاده کرد و با آن‌ها مخلوط کرد تا نانوکامپوزیت‌هایی با خواص فیزیکی و شیمیابی کارآمد تولید کند (۳۰).

هدف اصلی از انجام این تحقیق، سترن نانوکامپوزیت اکسید روی پوشش داده شده بر روی پلی‌اتیلن ترفلات و کارایی آن در حذف سونوکاتالیستی دیازینون از محیط‌های آبی در حضور امواج مافوق صوت است. پارامترهای اصلی مؤثر در انجام این فرآیند، شامل تعییرات pH، مقدار نانوکامپوزیت، تعییرات غلظت اولیه دیازینون، زمان تماس، تأثیر پراکسید هیدروژن، تأثیر گاز اکسیژن و نیتروژن، تأثیر ترکیبات آلی، تأثیر به دام اندازه‌های رادیکال، تأثیر فرآیندهای مختلف، تأثیر آب شرب و آزمایش بازیافتی است. همچنین سینتیک واکنش مورد مطالعه با معادلات درجه صفر، یک و دو و انرژی مصرفی نیز به منظور بررسی جنبه‌ی اقتصادی کار بررسی گردید.

مواد و روش‌ها

کلیه مواد شیمیابی با درصد خلوص بالا (۹۹ درصد+) شامل کلرید روی، سدیم هیدروکسید، هیدروکلریک اسید، پراکسید هیدروژن، ترکیبات آلی و رادیکال خوارها از شرکت مرک آلمان و سم دیازینون نیز از شرکت سیگما آللریچ خردباری گردید. امواج مافوق صوت توسط دستگاه اولتراسونیک (Elmasonic P60H) برای فرآیندهای

مربوطه در جدول شماره ۲ نشان داده شده است (۳۳). علاوه بر این، در شرایط بهینه، آزمایش قابلیت استفاده مجدد نانوکامپوزیت، به داماندازهای رادیکال و تاثیر فرایندهای مختلف مورد ارزیابی قرار گرفت و کارایی نانوکامپوزیت اکسید روی-پلیاتیلن ترفلات در حضور تابش اولتراسونیک برای حذف دیازینون از آب آشامیدنی مورد مطالعه قرار گرفت. برای تعیین مواد واسطه تشکیل شده در شرایط بهینه با استفاده از دستگاه GC-MS ابتدا نمونه‌ها با روش استخراج مایع-مایع برای تزریق به دستگاه کروماتوگراف گازی با اسپکترومتر جرمی آماده گردید. به این صورت که ۲ mL حلال هگزان به ۵ mL نمونه موجود در لوله آزمایش اضافه شد و توسط ورتکس به مدت ۵ دقیقه مخلوط شد. پس از ساکن شدن لوله به مدت ۱۵ دقیقه، ۱۰ µL نمونه از حلال برداشته و به دستگاه کروماتوگراف گازی مدل Agilent Technologies 7890A (Agilent Technologies) و با مدل دمایی (حد نهایی دمای ستون ۲۸۰ °C، دمای دتکتور ۲۷۰ °C) دمای انتکتور ۲۵۰ °C، دمای اولیه کوره ۵۰ °C، دمای نهایی کوره ۲۸۰ °C، شیب دمایی کوره (۱۵°C/min) تزریق و سنجش گردید و در نهایت محصولات جانی مطابق با دایره المعارف دستگاه مشخص شدند.

جدول شماره ۲: معادلات مورد استفاده در مطالعات سینتیکی و انرژی مصرفی

مدل‌های سینتیکی	انرژی مصرفی	پارامترها و واحدهای آنها
$C_0 - C_t = K_{ot}$	درجه‌ی صفر	$C_0(\text{mg/L})$ $C_t(\text{mg/L})$
$\ln\left(\frac{C_0}{C_t}\right) = K_{obst}t$	درجه‌ی بک	$E_{EO} = \frac{38.4 \times P}{V \times K_{obs}}$ $K_{obst}(\text{1/min})$
$\frac{1}{C_t} - \frac{1}{C_0} = K_{2t}$	درجه‌ی دو	$K_2(\text{L/mol min})$
$-\frac{d[C]}{dt} = \frac{K_c K_e [C]}{1 + K_e [C]_0} = K_{obs}[C]$	لانگمویر-هینلود	$K_e(\text{mg/L min})$ $E_{EO} = \frac{P \times t \times 1000}{V \times 60 \times \log(C_0/C_t)}$ $P(\text{kW})$ $V(\text{L})$ $E_{EO}(\text{kWh/m}^3)$
$\frac{1}{K_{obs}} = \frac{1}{K_c K_e} + \frac{[C]_0}{K_c}$		

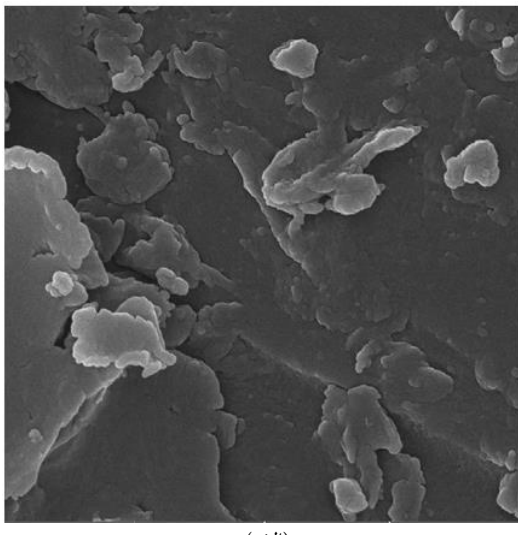
یافته‌ها

مشخصات نانوکامپوزیت اکسید روی-پلیاتیلن ترفلات پس از سنتر نانوکامپوزیت، آنالیز پراش اشعه‌ی

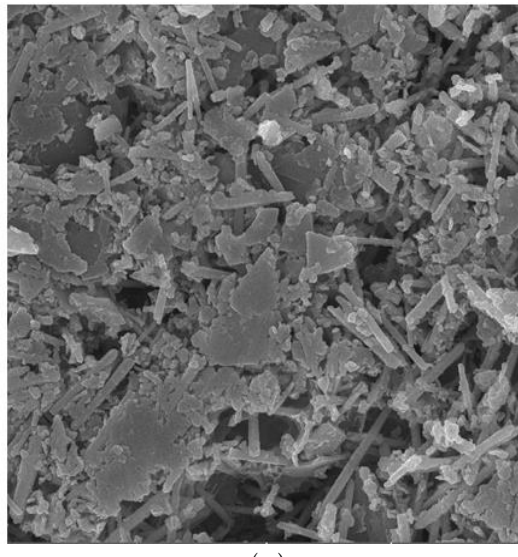
سپس پودر شد و نانوکامپوزیت تولید شده در مراحل بعد مورد استفاده قرار گرفت (۳۱).

آزمایشات ناپیوسته

عوامل مورد بررسی در این پژوهش شامل pH اولیه (۱۱-۳)، مقدار اولیه نانوکاتالیست (۰/۲-۰/۵ g/L)، غلظت اولیه دیازینون (۵-۵۰ mg/L)، تاثیر پراکسید هیدروژن (۰-۵۰ mM)، انواع گاز (اکسیژن و نیتروژن (۰ L/min)، غلظت اولیه ترکیبات آلی (فولیک اسید، سیتریک اسید، هیومیک اسید، اتیلن دی‌آمین ترا اسیدیک اسید، اسید اگرالات، فل)، هر کدام ۲۰ mg/L و زمان واکنش ۵ تا ۶۰ دقیقه هستند. بهینه‌سازی متغیرها با استفاده از روش یک عامل در زمان (OFAT) انجام شد. ابتدا با تعییر دادن pH نمونه‌ها و ثابت نگه داشتن مقدار نانوکاتالیست و غلظت اولیه دیازینون، مقدار بهینه pH برابر ۵ به دست آمد. سپس با ثابت نگه داشتن نمونه‌ها، کارایی سایر پارامترها بر روی حذف دیازینون مورد بررسی قرار گرفت. حذف سونوکاتالیستی دیازینون در داخل راکتور اولتراسونیک انجام شد. قبل از شروع فرآیند، برای رسیدن به تعادل جذب-واجذب، محلول شامل دیازینون و نانوکامپوزیت به مدت ۳۰ دقیقه در اتاق تاریک قرار گرفتند. سپس دستگاه اولتراسونیک برای انجام روش سونوکاتالیستی روشن شد. نمونه برداری در فواصل زمانی مشخص به مدت ۶۰ دقیقه و جداسازی نانوکاتالیست از نمونه‌ها توسط دستگاه سانتریفیوژ (Sigma-301، آلمان) با ۴۰۰۰ rpm به مدت ۳ دقیقه انجام شد. سپس اندازه‌گیری باقیمانده دیازینون توسط دستگاه اسپکتروفوتومتر (UV/VIS, DR 5000) در طول موج ۲۹۵ nm بر اساس کتاب روش‌های استاندارد برای آزمایشات آب و فاضلاب صورت گرفت (۳۲). همچین مطالعات سینتیکی و محاسبات انرژی الکتریکی (E_{EO}) برای تخمین بهره‌وری اقتصادی سیستم انجام شد. تمامی معادلات مربوط به محاسبات سینتیک واکنش، مدل لانگمویر-هینلود، انرژی الکتریکی و پارامترهای

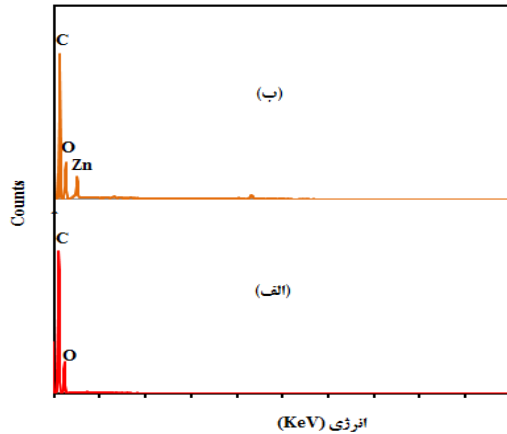


(الف)



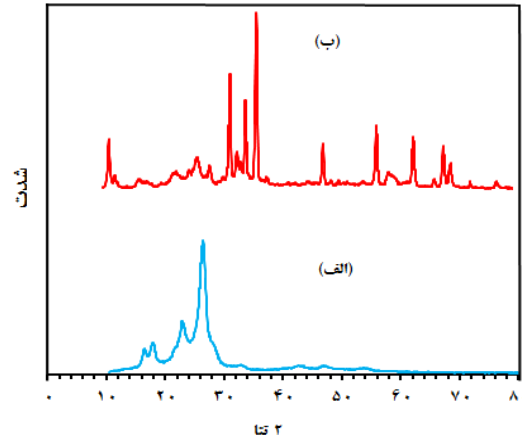
(ب)

تصویر شماره ۱: تصویر SEM از نمونه‌ها (الف): پلی‌اتیلن ترفلات
(ب): نانوذرات اکسیدروی پوشش داده بر روی پلی‌اتیلن ترفلات

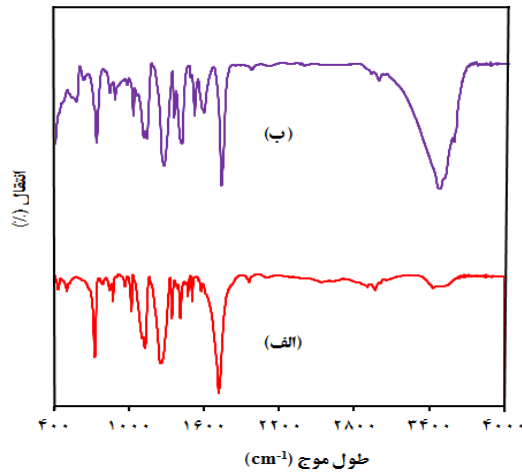


نمودار شماره ۲: تصویر EDX از نمونه‌ها (الف): پلی‌اتیلن ترفلات
(ب): نانوذرات اکسیدروی پوشش داده بر روی پلی‌اتیلن ترفلات

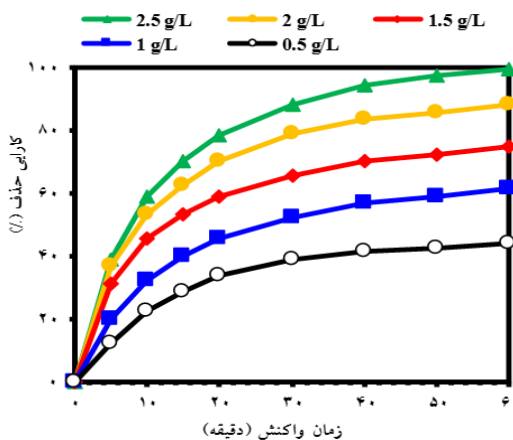
ایکس (XRD) برای تعیین ساختار کریستالی و اندازه‌ی نانو ذرات (نمودار شماره ۱)، آنالیز طیف سنجی تبدیل فوریه‌ی مادون قرمز (FT-IR) برای تعیین گروه‌های عاملی بر سطح نانو ذرات (نمودار شماره ۲)، آنالیز میکروسکوپ الکترونی روبشی (SEM) برای تعیین شکل و اندازه‌ی نانو ذرات (تصویر شماره ۱)، آنالیز پراش انرژی اشعه‌ی ایکس (EDX) برای تعیین عناصر موجود در مواد سنتز شده (تصویر شماره ۳)، و آنالیز نقطه‌ی ایزوکتریک (pH_{pzc}) برای بررسی مشخصات pH بار سطحی نانو ذرات با روندی که در مطالعه‌ی فرخی و همکاران ذکر شده انجام شد.^(۳۴)



نمودار شماره ۱: تصویر XRD از نمونه‌ها (الف): پلی‌اتیلن ترفلات
(ب): نانوذرات اکسیدروی پوشش داده بر روی پلی‌اتیلن ترفلات



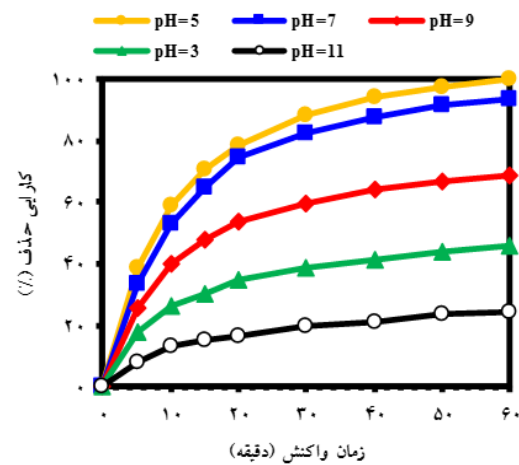
نمودار شماره ۲: تصویر FT-IR از نمونه‌ها (الف): پلی‌اتیلن ترفلات
(ب): نانوذرات اکسیدروی پوشش داده بر روی پلی‌اتیلن ترفلات



نمودار شماره ۵: تأثیر مقدار اولیه نانو کامپوزیت بر کارایی حذف سونو کاتالیستی دیازینون (غلظت اولیه دیازینون برابر با 20 mg/L ، pH اولیه برابر با ۵)

تأثیر pH اولیه

به منظور بررسی تأثیر pH اولیه بر کارایی حذف دیازینون محلول هایی با pH های مختلف (۱۱-۳) تهیه شد. پارامترهای دیگر شامل غلظت اولیه دیازینون، برابر با 20 mg/L و مقدار اولیه نانو کاتالیست، برابر با $2/5 \text{ g/L}$ ثابت در نظر گرفته شد و در زمان های مختلف، نمونه برداری انجام شد. نتایج حاصل از تأثیر این پارامتر در نمودار شماره ۴، نشان داده شده است. همان طور که از نمودار مشاهده می گردد، pH بهینه برای حذف دیازینون برابر با ۵ تعیین گردید.



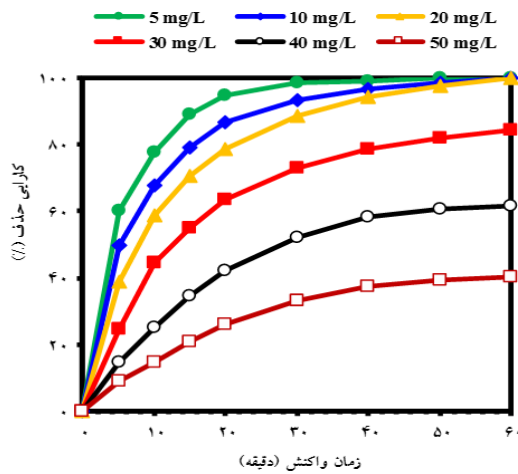
نمودار شماره ۴: تأثیر pH اولیه بر کارایی حذف سونو کاتالیستی دیازینون (غلظت اولیه دیازینون برابر با 20 mg/L ، مقدار اولیه نانو کامپوزیت برابر با $2/5 \text{ g/L}$)

تأثیر غلظت اولیه دیازینون
تأثیر غلظت اولیه دیازینون بر کارایی حذف آن در سیستم مورد مطالعه، با تغییر در غلظت اولیه دیازینون برابر با $(5-50 \text{ mg/L})$ در شرایط ثابت مقدار اولیه نانو کاتالیست برابر با $2/5 \text{ g/L}$ و pH اولیه برابر با ۵، در زمان های تماس مختلف بررسی شد. نتایج حاصله در نمودار شماره ۶، نشان داده شده است. همان طور که در این نمودار مشاهده می گردد، با افزایش غلظت اولیه دیازینون از 5 mg/L تا 50 mg/L پس از 60 دقیقه، کارایی حذف به ترتیب از 100 به $40/15$ درصد کاهش یافت. در ادامه آزمایشات برای بررسی کارایی حذف دیازینون در غلظت برابر با 20 mg/L با کارایی حذف $99/81$ درصد انجام شد. پارامترهای سیستمی درجهی صفر، یک و دو برای حذف سونو کاتالیستی دیازینون، در غلظت های اولیه متفاوت دیازینون در جدول شماره ۳ نشان داده شده است.

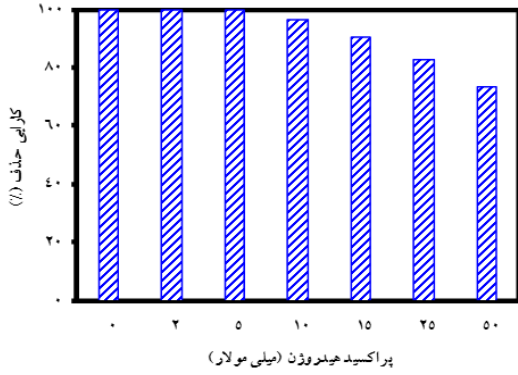
تأثیر غلظت اولیه پراکسید هیدروژن
انتخاب مقدار بهینه پراکسید هیدروژن، به دلیل افزایش عملکرد سونو کاتالیستی، دارای اهمیت است. نتایج حاصل از تأثیر غلظت اولیه پراکسید هیدروژن بر کارایی حذف دیازینون در شرایط بهینه، در نمودار شماره ۷، نشان داده شده است. همان طور که مشاهده

تأثیر مقدار اولیه نانو کامپوزیت

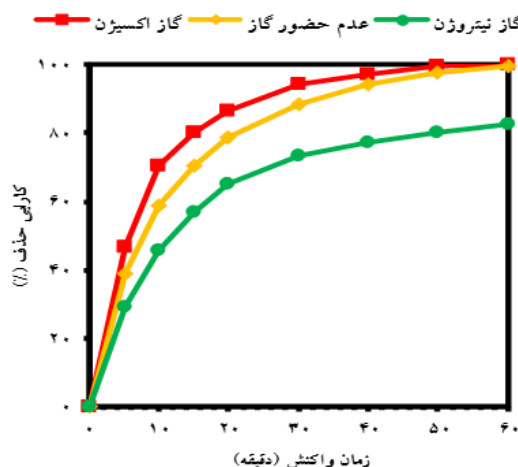
تأثیر مقدار اولیه نانو کامپوزیت بر کارایی حذف دیازینون در سیستم مورد مطالعه، با تغییر در مقدار اولیه نانو کامپوزیت در محدوده $(0/5-2/5 \text{ g/L})$ و ثابت در pH اولیه برابر با ۵ در زمان های تماس مختلف، بررسی شد. نتایج حاصل از تأثیر این پارامتر در نمودار شماره ۵، نشان داده شده است. با توجه به این نمودار، مشاهده می گردد که بیشترین کارایی حذف برای دیازینون در $2/5 \text{ g/L}$ با کارایی $99/81$ درصد، به دست آمده است.



نمودار شماره ۶: تأثیر غلظت اولیه دیازینون بر کارایی حذف سونوکاتالیستی آن (مقدار اولیه نانوکامپوزیت برابر با $2/5 \text{ g/L}$ و pH اولیه برابر با 5)



نمودار شماره ۷: تأثیر حضور هیدروژن پراکسید بر کارایی حذف سونوکاتالیستی دیازینون (غلظت اولیه دیازینون برابر با 20 mg/L ، مقدار اولیه نانوکامپوزیت برابر با $2/5 \text{ g/L}$ و pH اولیه برابر با 5)



نمودار شماره ۸: تأثیر گاز اکسیژن و نیتروژن بر کارایی حذف سونوکاتالیستی دیازینون (غلظت اولیه دیازینون برابر با 20 mg/L ، مقدار اولیه نانوکامپوزیت برابر با $2/5 \text{ g/L}$ و pH اولیه برابر با 5)

می‌گردد، با افزودن پراکسید هیدروژن تا 5 mM کارایی حذف دیازینون افزایش می‌باید و به طور کامل حذف می‌گردد، اما با افزایش پراکسید هیدروژن به بیشتر از 5 mM کارایی حذف به طور قابل توجهی کاهش یافت.

تأثیر گاز اکسیژن و نیتروژن

تأثیر گازهای مختلف بر کارایی حذف دیازینون در شرایط بهینه و نرخ جریان گاز اکسیژن و نیتروژن برابر با 2 L/min بررسی شد. با توجه به نمودار شماره ۸ کارایی حذف دیازینون در شرایط محیطی، با افزایش زمان تماس تا 60 دقیقه، به $99/81$ درصد افزایش یافت، در حالی که دیازینون در حضور گاز اکسیژن به طور کامل حذف شد ولی در حضور گاز نیتروژن کارایی به $82/57$ درصد کاهش یافت.

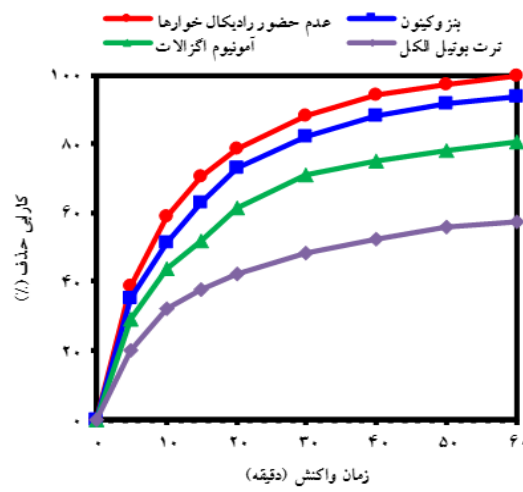
تأثیر ترکیبات آلی مختلف

برای بررسی تأثیر ترکیبات آلی مختلف بر کارایی حذف دیازینون، آزمایشات در حضور ترکیبات آلی مختلف با غلظت برابر با 20 mg/L در شرایط بهینه انجام شد. نتایج حاصله در نمودار شماره ۹، نشان داده شده است. همان طور که مشاهده می‌گردد، کارایی حذف سونوکاتالیستی دیازینون در شرایط عدم حضور ترکیبات آلی ($99/81$ درصد)، در حضور هیومیک اسید ($62/73$ درصد)، فلوراکسیل اسید ($78/41$ درصد)، اتیلن دی آمین تراستیک اسید ($82/32$ درصد)، اگزالیک اسید ($80/12$ درصد)، فولیک اسید ($92/21$ درصد) و سیتریک اسید ($70/11$ درصد) بود.

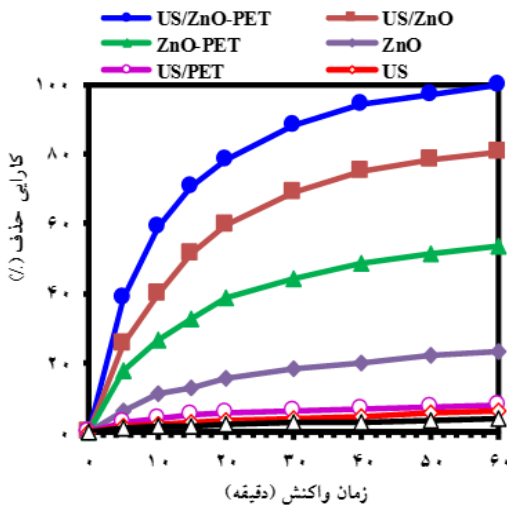
جدول شماره ۳: پارامترهای سیستمیکی در حذف سونوکاتالیستی دیازینون در غلظت‌های اولیه متفاوت (مقدار اولیه نانوکاتالیست برابر با $2/5 \text{ g/L}$ و pH اولیه برابر با 5)

غلاف	درجه صفر	درجه بیک	درجه دو	R^2	K_2 ($\text{L.mol}^{-1}.\text{min}^{-1}$)	E_{EO} (KWh.m^{-3})	R^2	K_{obs}^{-1} (min^{-1})	K_{obs} (min^{-1})	R^2	K_0 ($\text{mol.L}^{-1}.\text{min}^{-1}$)	mg.L^{-1}
۵	.۰/۰۴۱۹	.۰/۰۴۱۹	.۰/۰۴۱۹	.۰/۹۳۳	.۱۸۱/۰۷۲	.۰/۹۸۵	.۰/۱۳۱	.۰/۱۲۳	.۰/۹۴۶	.۰/۰۵۴	.۰/۰۵۴	.۰/۰۵۴
۱۰	.۰/۰۷۷۶	.۰/۰۷۷۶	.۰/۰۷۷۶	.۰/۱۷۷	.۱۴۵/۰۷۷	.۰/۹۱۸	.۱/۱۳۳	.۰/۱۸۷	.۰/۹۲۱۶	.۰/۱۲۳۱	.۰/۱۲۳۱	.۰/۱۲۳۱
۲۰	.۰/۰۴۹۵	.۰/۰۷۲۵	.۰/۰۷۲۵	.۰/۲۷۵	.۱۴۷/۰۱۸	.۰/۹۳۳	.۱/۱۱۳	.۰/۰۸۸	.۰/۷۲۴۳	.۰/۱۶۹۶	.۰/۱۶۹۶	.۰/۱۶۹۶
۳۰	.۰/۰۹۹۹	.۰/۰۰۳۱	.۰/۰۰۳۱	.۰/۷۳۲	.۱۷۳/۰۲۲	.۰/۹۷۶	.۳/۱۸۵	.۰/۰۳۰۴	.۰/۷۸۶۲	.۰/۱۲۶۱	.۰/۱۲۶۱	.۰/۱۲۶۱
۴۰	.۰/۰۶۴۶	.۰/۰۰۰۷	.۰/۰۰۰۷	.۰/۱۳۷	.۱۳۷/۰۱	.۰/۹۱۹	.۱/۱۷۸	.۰/۱۰۲	.۰/۰۵۷	.۰/۳۸۹۵	.۰/۳۸۹۵	.۰/۳۸۹۵
۵۰	.۰/۰۴۱۹	.۰/۰۰۰۲	.۰/۰۰۰۲	.۰/۲۵۸	.۰/۹۱۵	.۰/۱۱۶	.۰/۰۸۶	.۰/۰۸۷	.۰/۰۲۵	.۰/۰۲۵	.۰/۰۲۵	.۰/۰۲۵

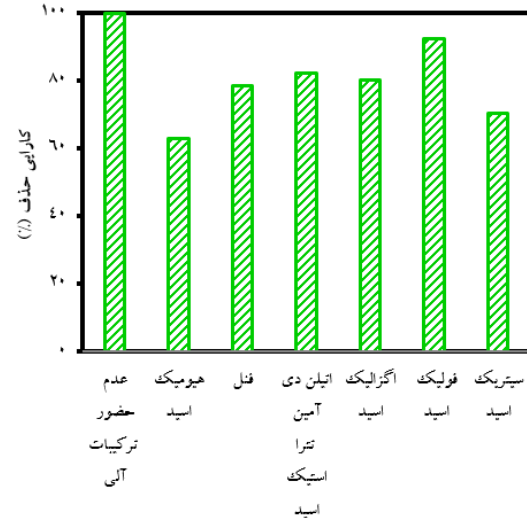
اولتراسونیک بر کارایی حذف دیازینون در شرایط بهینه در زمان‌های مختلف بررسی شد. نتایج حاصله در نمودار شماره ۱۱ نشان داده شده است. همان طور که در این نمودار مشاهده می‌گردد، کارایی حذف برای دیازینون به ترتیب برابر با $۳/۸۳$ ، $۶/۱۳$ ، $۸/۰۵$ ، $۵۳/۸۳$ ، $۲۳/۱۸$ ، $۸/۰۵$ ، $۹۹/۸۱$ درصد بود. به طور کلی، اکسیدروی-پلی‌اتیلن ترفالات/امواج اولتراسونیک برای حذف دیازینون دارای بیشترین کارایی بود.



نمودار شماره ۱۰: تأثیر رادیکال خوارها بر کارایی حذف سونوکاتالیستی دیازینون (غلظت اولیه دیازینون برابر با ۲۰ mg/L، مقدار اولیه نانوکامپوزیت برابر با $۲/۵$ g/L و pH اولیه برابر با ۵)



نمودار شماره ۱۱: تأثیر فرآیندهای مختلف بر کارایی حذف سونوکاتالیستی دیازینون (غلظت اولیه دیازینون برابر با ۲۰ mg/L، مقدار اولیه نانوکامپوزیت برابر با $۲/۵$ g/L و pH اولیه برابر با ۵)



نمودار شماره ۹: تأثیر ترکیبات آلی مختلف بر کارایی حذف سونوکاتالیستی دیازینون (غلظت اولیه ترکیبات آلی و دیازینون برابر با ۲۰ mg/L، مقدار اولیه نانوکامپوزیت برابر با $۲/۵$ g/L و pH اولیه برابر با ۵)

بررسی تأثیر انواع بدام اندازهای رادیکال برای بررسی تأثیر انواع بدام اندازهای رادیکال بر کارایی حذف دیازینون در سیستم مورد مطالعه، آزمایشات در حضور بنتزوکینون (BQ)، آمونیوم اگزالات (AO)، ترت بوتیل الکل (TBA)، به ترتیب به عنوان بدام انداز سویراکسید (O_2^-)، حفره (h^+) و هیدروکسیل (OH)، در شرایط بهینه انجام شد و نتایج کارایی حذف در نمودار شماره ۱۰، نشان داده شده است. همان طور که مشاهده می‌گردد، در حالت عدم حضور بدام اندازها، کارایی حذف دیازینون برابر با $۹۹/۸۱$ درصد بود، اما در حضور بنتزوکینون، آمونیوم اگزالات و ترت بوتیل الکل به ترتیب به $۸۰/۶۵$ ، $۹۴/۰۶$ و $۵۷/۶۶$ درصد کاهش یافت.

مقایسه تأثیر فرآیندهای مختلف در مطالعه حاضر، قابلیت فرآیندهای مختلف شامل، پلی‌اتیلن ترفالات، امواج اولتراسونیک، پلی‌اتیلن ترفالات/امواج اولتراسونیک، اکسیدروی، اکسیدروی-پلی‌اتیلن ترفالات، اکسیدروی/امواج اولتراسونیک و اکسیدروی-پلی‌اتیلن ترفالات/امواج

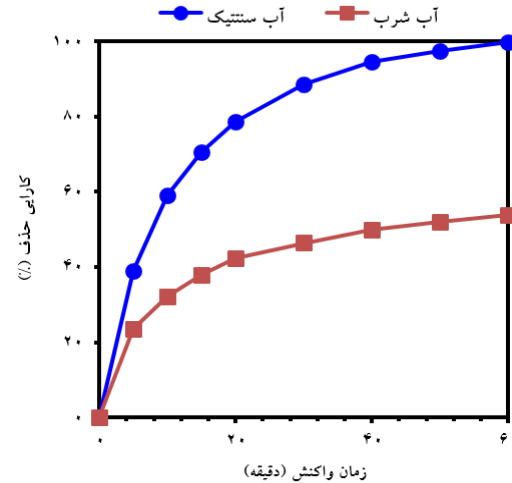
نانوکاتالیست برابر با $2/5 \text{ g/L}$ و زمان تماس برابر با 60 دقیقه در فرآیند حذف سونوکاتالیستی دیازینون توسط نانوکامپوزیت اکسیدروی-پلیاتیلن ترتالات نمونه‌برداری شد، سپس نانوکامپوزیت از نمونه‌ها جداسازی شد، و نمونه‌ها برای تعیین مواد واسطه تشکیل شده در شرایط بهینه با استفاده از دستگاه GC-MS آنالیز گردید و در نهایت محصولات جانبی مطابق با دایره المعارف دستگاه مشخص شدند (جدول شماره ۴).

جدول شماره ۴: مواد واسطه تشکیل شده در شرایط بهینه با استفاده از دستگاه GC-MS در حذف سونوکاتالیستی دیازینون (غلط اولیه دیازینون برابر با 20 mg/L ، مقدار اولیه نانوکامپوزیت برابر با $2/5 \text{ g/L}$ ، $\text{pH} = 5$ اولیه برابر با 5)

نام ترکیب	ساختار مولکولی	جرم مولی (g mol^{-1})
دیازوکسون		۲۸۸
(IMP)		۱۵۲
هیدروکسی دیازینون		۳۲۰
دیازینون متیل کون		۳۰۴

بررسی کارایی نانوکامپوزیت بازیافت شده برای بررسی کارایی نانوکامپوزیت بازیافت شده برای استفاده مجدد از آن در فرآیندهای سونوکاتالیستی، نانوکاتالیست‌های جمع آوری شده از آزمایشات قبلی فقط با آب مقطر اجرا شد و سپس آزمایشات مربوطه، در شرایط بهینه انجام گردید، همان‌طور که در نمودار شماره ۱۲ قابل مشاهده است در طی احیاء نانوکامپوزیت با آب مقطر برای آزمایش‌های سونوکاتالیستی دیازینون کارایی حذف سونوکاتالیستی کاهش یافت و در مرحله بعد با احیا دیازینون با سدیم هیدروکسید 2 مولار در هر

حذف دیازینون از نمونه‌ی آب شرب برای ارزیابی کارایی نانوکاتالیست اکسیدروی-پلیاتیلن ترتالات در حضور امواج اولتراسونیک در حذف دیازینون از نمونه‌ی آب شرب، از آب آشامیدنی سیستم توزع شهر رشت، نمونه گرفته شد و سپس به طور جداگانه 20 mg/L دیازینون و $2/5 \text{ g/L}$ نانوکاتالیست به نمونه‌ی آب اضافه شد و در زمان‌های تماس مختلف، بررسی شد. به طور کلی مشخصات آب شرب نمونه‌برداری شده در مطالعه قبلی نشان داده شده است (۳۵). نتایج کارایی حذف در نمودار شماره ۱۲ نشان داده شده است. همان‌طور که در این نمودار مشاهده می‌شود، کارایی حذف دیازینون در نمونه‌ی آب آشامیدنی در مقایسه با نمونه‌ی سنتیک کاهش یافت و کارایی حذف، پس از 60 دقیقه در نمونه‌های آب آشامیدنی برابر با $53/83\%$ درصد بود.



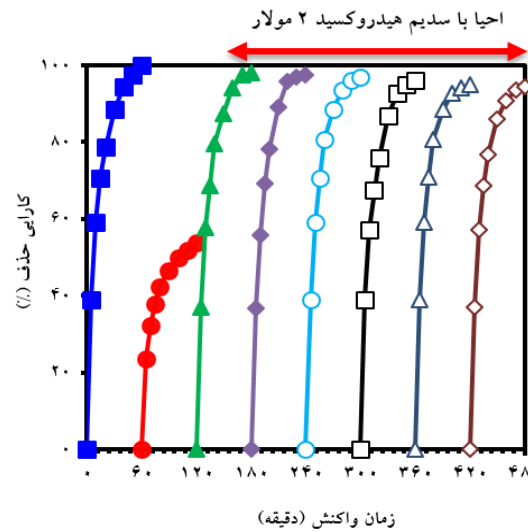
نمودار شماره ۱۲: تأثیر آب شرب بر کارایی حذف سونوکاتالیستی دیازینون (غلط اولیه دیازینون برابر با 20 mg/L ، مقدار اولیه نانوکامپوزیت برابر با $2/5 \text{ g/L}$)

بررسی مواد واسطه تشکیل شده در شرایط بهینه با استفاده از دستگاه GC-MS

برای تعیین مواد واسطه تشکیل شده در شرایط بهینه با استفاده از دستگاه GC-MS در شرایط ثابت غلط دیازینون برابر با 20 mg/L ، $\text{pH} = 5$ و غلط

اندازه‌های اکسیدروی و نانو کامپوزیت اکسیدروی-پلی اتیلن ترفالات به ترتیب ۱۹/۸۶ و ۲۰/۸۱ نانومتر به دست آمد. طبق نمودار شماره ۲-الف، طیف FT-IR دارای چند پیک جذب غالب در باندهای مختلف برای پلی اتیلن ترفالات بود، که باند قرار گرفته در cm^{-1} ۷۲۶/۷۳ به گروه‌های استر قطیعی و برهم کنش حلقه‌های بنزن (ارتعاش = حلقه بنزن C-H خارج از صفحه)، نسبت داده می‌شود. باندهای قرار گرفته در cm^{-1} ۱۱۲۷/۷۰ و ۱۲۵۳/۴۷ cm^{-1} با ارتعاش گروه استر مرتبط هستند. باند جذب در cm^{-1} ۱۷۱۷/۲۷ مربوط به ارتعاشات کششی پیوند C=O استرهای اشباع شده است و در cm^{-1} ۲۹۶۸/۴۹ جذب مربوط به ارتعاشات پیوند C-H و باند در cm^{-1} ۳۴۳۰/۹۳ مربوط به گروه O-H تعلق دارد (۳۸). در پیک‌های جذب نانوذرات اکسیدروی، باند واقع در cm^{-1} ۴۵۸/۸۹ به ارتعاش کششی نانوذرات اکسیدروی نسبت داده می‌شود. هنگام تهیه اکسیدروی برای آنالیز FT-IR در هوای آزاد، رطوبت جذب شده باعث ایجاد حالت ارتعاش خمی H-O-H می‌شود که باند مربوطه در cm^{-1} ۱۶۰۸/۹۰ نشان داده شده است (۳۹). علاوه بر این، باند قرار گرفته در cm^{-1} ۳۵۰۰/۲۴ مربوط به گروه‌های OH⁻ در نانوذرات اکسید روی است (۴۰). به علاوه، در نمودار شماره ۲-ب باندهای مربوط به گروه‌های عاملی پلی اتیلن ترفالات و اکسیدروی در نانو کامپوزیت اکسید روی-پلی اتیلن ترفالات قابل مشاهده است که ثابت نانوذرات اکسیدروی بر روی پلی اتیلن ترفالات را تایید می‌کند. آنالیز SEM ساختار میله‌ای نانو کامپوزیت اکسیدروی-پلی اتیلن ترفالات ثابت نانوذرات اکسید روی بر روی پلی اتیلن ترفالات را نشان می‌دهد. براساس آنالیز EDX، درصد وزن کربن ۵۶/۹۶ و اکسیژن ۴۵/۰۴ (درصد) را در پلی اتیلن ترفالات، درصد اکسیژن ۴۲/۷۲ (درصد) و روی ۵۷/۲۸ (درصد) را در اکسید روی و درصد کربن ۵۱/۴۸ (درصد)، اکسیژن ۴۴/۴۱ (درصد) و روی ۴/۱۱ (درصد) را در نانو کامپوزیت اکسید روی-پلی اتیلن ترفالات نشان

مرحله کارایی حذف سونو کاتالیستی، با تغییر بسیار اندک حفظ شد. نتایج نشان داد که نانو کاتالیست بازیافت شده، قابلیت استفاده مجدد (بعد از ۶ مرحله) را برای حذف دیازینون را دارد.

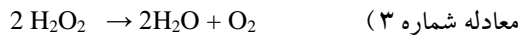
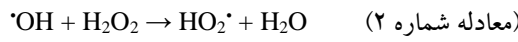
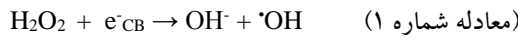


نمودار شماره ۱۳: کارایی نانو کامپوزیت بازیافت شده بر حذف سونو کاتالیستی دیازینون (غلظت اولیه دیازینون برابر با 20 mg/L ، مقدار اولیه نانو کامپوزیت برابر با $2/5 \text{ g/L}$ ، pH اولیه برابر با 5)

بحث

پراش اشعه X (XRD) پرکاربردترین تکنیک برای تعیین ساختار کریستالی و اندازه‌ی نانوذرات استفاده می‌شود. پیک‌های پراش اصلی اکسید روی به عنوان مقادیر ۲-تتا به ترتیب در $31/۹۶$ ، $34/۶۸$ و $36/۴۸$ درجه قرار دارند که مربوط به صفحات (۱۰۰)، (۰۰۲) و (۱۰۱) بود. این قله‌ها ساختار شش ضلعی ورتیت نانوذرات اکسید روی را تایید می‌کند (۳۶). همچنین ساختار کریستالی پلی اتیلن ترفالات با پیک‌های غالب در صفحات (۰۱۱)، (۰۱۰) و (۱۰۰) تایید شد (۳۷). علاوه بر این پیک‌های مربوط به اکسیدروی و پلی اتیلن ترفالات در نانو کامپوزیت اکسیدروی-پلی اتیلن ترفالات مشاهده شده است که نشان دهنده رشد موثر نانوذرات اکسیدروی بر روی پلی اتیلن ترفالات است. با توجه به فرمول Debye-Scherrer، میانگین

معادله‌ی لانگمویر- هینشلوود، با رسم K_{obs}^{-1} در برابر غلظت اولیه‌ی دیازینون، به ترتیب برابر با $mg \cdot L^{-1} \cdot min^{-1}$ و $0/488 \text{ L} \cdot mg^{-1} \cdot 0/189$ به دست آمد. همچنین میزان انرژی مصرفی، در فرآیند اکسید روی- پلی‌اتیلن ترفالات/ امواج اولتراسونیک ($213/42 \text{ kWh} \cdot m^{-3}$) کم‌تر از فرآیندهای اکسید روی/ امواج اولتراسونیک ($813/07 \text{ kWh} \cdot m^{-3}$)، پلی‌اتیلن ترفالات/ امواج اولتراسونیک ($15921/27 \text{ kWh} \cdot m^{-3}$)، و امواج اولتراسونیک ($2110/54 \text{ kWh} \cdot m^{-3}$) بود. نتایج حاصل از تاثیر غلظت اولیه پراکسید هیدروژن بر روی کارایی حذف دیازینون نشان می‌دهد که با افزایش غلظت اولیه پراکسید هیدروژن از mM ۲ تا ۵ افزایش یافت. دلیل افزایش کارایی حذف، افزایش واکنش بین پراکسید هیدروژن و الکترون‌ها در باندهادی نانوکامپوزیت است. بر طبق معادله شماره ۱ پراکسید هیدروژن به‌طور موثری از ترکیب مجدد حفره- الکترون جلوگیری می‌کند. همچنین با توجه به این که پراکسید هیدروژن نسبت به اکسیژن محلول پذیرنده الکترون بهتری است، بنابراین به عنوان پذیرنده خوب الکترون در واکنش‌های سونوکاتالیستی عمل می‌کند. اما با افزایش غلظت پراکسید هیدروژن به بالاتر از mM ۵ در فرایند سونوکاتالیستی کارایی حذف کاهش یافت. کاهش در کارایی حذف را می‌توان به این صورت توضیح داد که در غلظت‌های بالا پراکسید هیدروژن با رادیکال‌های هیدروکسیل تولید شده ترکیب می‌شود (معادله شماره ۲) و موجب کاهش کارایی حذف دیازینون می‌شود، به علاوه دلیل دیگر این کاهش در کارایی حذف می‌تواند تجزیه خود به خودی پراکسید هیدروژن به آب و اکسیژن باشد (معادله شماره ۳).



کارایی حذف دیازینون در حضور گاز اکسیژن افزایش و در حضور گاز نیتروژن کاهش یافت. اکسیژن

می‌دهد. بنابراین حضور تنها عناصر کربن، اکسیژن و روی در آنالیز نشان‌دهنده خلوص نانوکامپوزیت تولید شده است (۳۰). نتایج حاصل از تاثیر pH نشان می‌دهد که نانوکامپوزیت در شرایط اسیدی و بازی کارایی خوبی ندارد. یک علت اصلی برای این تاثیر، خوردگی نانوکامپوزیت اکسید روی- پلی‌اتیلن ترفالات در pH شرایط اسیدی و بازی است. در pH پایین‌تر از $pH = 6/76$ نقطه صفر (نقطه ایزوالکتریک) که محسابه گردید، سطح نانوکامپوزیت دارای بار مثبت و دیازینون دارای بار منفی می‌شود. بنابراین با ایجاد نیروی جذب الکترواستاتیکی بین سطح نانوکامپوزیت و دیازینون بالاترین کارایی حذف دیازینون در pH ۵ رخ می‌دهد (۴۲، ۴۱). نتایج حاصل از تاثیر مقدار اولیه نانوکامپوزیت نشان می‌دهد که، کارایی حذف با افزایش مقدار اولیه نانوکامپوزیت افزایش یافت، که این امر به علت افزایش تعداد نقاط فعال موجود بر روی نانوکامپوزیت و همچنین افزایش فعالیت کاویتاسیونی ایجاد شده در سیستم سونوکاتالیستی، که منجر به افزایش تعداد رادیکال‌های فعال می‌شود، رخ می‌دهد (۴۴، ۴۳). نتایج تاثیر تغییرات غلظت اولیه دیازینون نشان‌دهنده این است که، کارایی حذف با افزایش غلظت اولیه دیازینون از $mg/L = 50$ به $5 mg/L$ کاهش می‌یابد. علت کاهش کارایی، جذب آلاندنهای بر سطح نانوکامپوزیت و محدود شدن جایگاه‌های فعال بر سطح نانوکامپوزیت است، به‌طوری که باعث کاهش تولید رادیکال‌های آزاد برای حذف دیازینون می‌شوند (۴۶، ۴۵). براساس نتایج حاصله از محاسبه مدل‌های سینتیکی، فرآیند سونوکاتالیستی حذف دیازینون توسط اکسید روی- پلی‌اتیلن ترفالات، با مدل سینتیکی اول تطابق بیشتری دارد. با افزایش غلظت اولیه‌ی رنگ، از $5 mg/L$ به $50 mg/L$ ، ضریب ثابت سینتیکی درجه‌ی دیگر یک از $0/123 min^{-1}$ به $0/0086 min^{-1}$ کاهش و مقدار انرژی مصرفی از $181/073 \text{ kWh} \cdot m^{-3}$ به $2589/77 \text{ kWh} \cdot m^{-3}$ افزایش یافت. مقدار ثابت سینتیکی سطح واکنش (K_C) و ثابت جذب لانگمویر (K_{DZ}) براساس

که بیشترین اثر کاهشی بر کارایی حذف دیازینون را به دام انداز ترت بوتیل الکل داشته است که نشان می‌دهد فعال‌ترین رادیکال در حذف دیازینون رادیکال هیدروکسیل بوده است^(۵۳). این کاهش می‌تواند از طریق اشغال نقاط فعال کاتالیست توسط رادیکال خوارها باشد^(۵۴). بر طبق نمودار شماره ۱۱، مشاهده می‌گردد که فرایند نانوکامپوزیت اکسیدروی-پلی‌اتیلن ترفتالات/امواج اولتراسونیک کارایی بالاتری در حذف دیازینون نسبت به فرایندهای دیگر دارد. بنابراین امواج اولتراسونیک به تنها نمی‌توانند آلاندھا را حذف کنند. اما با افزودن سونوکاتالیست، از طریق تشکیل هسته و افزایش کاویتاسیون و تولید رادیکال‌های مسئول و در نتیجه، پدیده سونولومینسانس، کارایی حذف آلاندھا افزایش یافته^(۵۵). حذف سونوکاتالیستی دیازینون با نانوکامپوزیت اکسیدروی-پلی‌اتیلن ترفتالات با سایر مطالعات مقایسه شده است که خلاصه‌ای از نتایج در جدول شماره ۵، مشاهده می‌شود. با توجه به نمودار شماره ۱۲، نمونه‌ی آب شرب کارایی حذف کمتری در تخریب سونوکاتالیستی دیازینون در مقایسه با آب مقطر را داشت که علت آن وجود مداخله کننده‌هایی مانند سولفات، کلراید، کربنات، بی کربنات، نیترات و نیتریت است که مکان‌های فعال بر سطح نانوکامپوزیت اکسیدروی-پلی‌اتیلن ترفتالات را پر کرده و از تولید رادیکال‌های فعال جلوگیری می‌کند و در نتیجه کاتالیست

محلول می‌تواند از طریق واکنش با الکترون‌های برانگیخته در باند هدایت نانوکامپوزیت به رادیکال سوپراکسید تبدیل شود. دلیل دیگر افزایش کارایی حذف در حضور گاز اکسیژن افزایش اثر اسکاونجری الکترون است. هم‌چنین الکترون‌های تولید شده در باند هادی ممکن است به طور موثری با اکسیژن محلول واکنش دهد، که باعث ممانعت از ترکیب مجدد بین حفره مثبت و الکترون می‌شود. گاز نیتروژن نیز با کاهش تولید رادیکال سوپراکسید باعث کاهش کارایی حذف دیازینون در گردید^(۴۹). کارایی حذف سونوکاتالیستی دیازینون در حضور ترکیبات آلی مختلف کاهش یافت. از آنجا که جایگاه‌های فعال نانوکامپوزیت با مواد آلی پر می‌شود، مکان‌های کمتری برای ترکیب هدف در دسترس باقی می‌ماند و تداخلی بین مولکول‌های آلی جذب شده و مولکول‌های آلاندھه اتفاق می‌افتد. ساختار ترکیبات آلی شامل مولکول‌های آلی آلفاتیک و آروماتیک است که می‌تواند مکان‌های فعال بر سطح نانوکامپوزیت را اشغال کند. بنابراین به دلیل رقابت بین مولکول‌ها و جلوگیری از تولید رادیکال‌های فعال، روند تخریب Zhang و همکاران در سال ۲۰۱۹ گزارش دادند که کارایی حذف دیازینون در حضور ترکیبات اتیلن‌دی‌آمین تراستیک‌اسید و اگزالت، کاهش یافته^(۵۶). در بررسی تاثیر به دام اندازه‌های رادیکالی بر دیازینون مشاهده شد

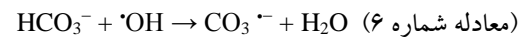
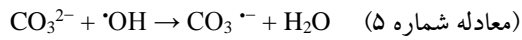
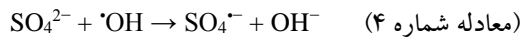
جدول شماره ۵: مقایسه حذف دیازینون در مطالعه حاضر با سایر مطالعات

منبع	R ²	k _{obs} (min ⁻¹)	کارایی (درصد)	زمان تعامل (دقیقه)	قدرت	غلظت دیازینون (mg/L)	مقادیر کاتالیست (g/L)	pH	فرآیند
(۵۶)	–	–	۸۲/۲۹	۱۵	kHz _{۷۷}	۱۵	۱	۵	US/Ni-doped ZnO
(۵۷)	–	–	۹۹/۳	۹۰	نور فرابنفش	۱۰	۱	۷	ZnO/Fe _۳ O _۴
(۵۸)	۰/۹۵	–	۸۵	۱۸۰	(۳۵۰ W)	۱۰	۲/۵	۷	Solar/N doped TiO ₂
(۵۹)	–	–	۸۹	۱۲۰	نور فرابنفش	۲۰	۱۰	۷	WO _۳ -doped ZnO
(۶۰)	–	–	۵۸/۳	–	(۳۶ W)	۲۵	۰/۵	۵/۶	Fe-TiO ₂ /Bent-F
(۶۱)	–	–	۹۹/۴۶	۱۲۰	نور فرابنفش	۵	۰/۱	۷	UV/MgO
(۶۱)	–	–	۷۶	۱۰۰	(۱۵ W)	۳۰	۰/۴	۵/۵	UV/Iron doped TiO ₂
(۱۳)	۰/۹۸۷	۰/۰۳۴۳	۹۸/۹۲	۱۲۰	۱۲۵ W	۲۰	۰/۵	۷	UV/ZnO- Scalloped Shell
(۶۲)	۰/۹۸۹۲	۰/۰۵۷	۹۹/۸۸	۱۲۰	۱۲۵ W	۲۰	۰/۵	۷	UV/WO _۳
(۶۳)	۰/۹۶۰۷	۰/۰۱۵۸	۹۹/۷۹	۱۲۰	۱۲۵ W	۲۰	۰/۵	۷	UV/ZnO-TiO ₂
(۶۴)	۱	–	>۹۷	۶۰	–	۱۰۰	۰/۱	۶	β-Cyclodextrin /AGE /thermosensitive polymer /Fe _۳ O _۴ @SiO ₂
مطالعه حاضر	۰/۹۳۴	۰/۰۸۹۸	۹۹/۸۱	۶۰	kHz _{۷۷}	۲۰	۲/۵	۵	US/ZnO-PET

پلی‌اتیلن ترفالات موجب تولید محصولات بی‌خطر در مسیر حذف سونوکاتالیستی دیازینون می‌شود (۶۷،۵۲،۵). قابلیت استفاده مجدد از کاتالیست‌ها در پایان واکنش یک پارامتر مهم است. همان‌طور که مشاهده گردید، کارایی حذف سونوکاتالیستی دیازینون توسط نانوکامپوزیت بازیافت شده پس از هر بار تکرار در شرایط بهینه، تغییر بسیار اندکی با کارایی حذف در مرحله اول داشت. بنابراین می‌توان نتیجه گرفت که نانوذرات اکسید روی پوشش داده شده بر روی پلی‌اتیلن ترفالات، قابلیت استفاده‌ی مجدد برای حذف دیازینون را از محیط‌های آبی دارد.

در این تحقیق از نانوکامپوزیت اکسید روی-پلی‌اتیلن ترفالات در حضور امواج مافق صوت در حذف دیازینون از محیط‌های آبی استفاده گردید. نانوکامپوزیت اکسید روی-پودر پلی‌اتیلن ترفالات با روش هم‌رسوبی سنتز شد. آنالیز XRD، FT-IR، SEM و EDX ساختار نانوکامپوزیت را تأیید کرد. بیشترین کارایی حذف در pH برابر با ۵ مشاهده گردید. کارایی حذف با افزایش غلظت اولیه دیازینون کاهش یافت و کارایی حذف از سیستیک درجه یک پیروی کرد. با افزایش غلظت اولیه رنگ، از 5 mg/L به 50 mg/L ، ضریب ثابت سیستیک درجه یک از $123\text{ min}^{-1}/123$ به $1086\text{ min}^{-1}/1086$ کاهش و مقدار انرژی مصرفی از $181/1073\text{ kWh.m}^{-3}$ به $2589/2589\text{ kWh.m}^{-3}$ یافت. کارایی حذف دیازینون با افزایش تأثیر غلظت اولیه پراکسید هیدروژن از ۲ تا 5 mM افزایش و سپس کاهش یافت. استفاده از گاز اکسیژن فعالیت سونوکاتالیستی بالاتری را برای حذف دیازینون نسبت به شرایط محیطی نشان می‌دهد. به طور کلی کارایی حذف رنگ برابر با سیکل اول بعد از زمان تماس 60 دقیقه بعد از سیکل ششم مشاهده گردید. در مجموع نتایج حاصل از انجام آزمایشات مشخص ساخت که می‌توان از فرآیند مورد مطالعه به عنوان یک روش موثر با قابلیت بازیابی کاتالیست به صورت ثقل و استفاده مجدد و کاهش

را برای حذف آلاینده غیر فعال می‌کند (معادلات شماره ۴ تا ۶).



به طور کلی، تجزیه سونوکاتالیستی آلاینده می‌تواند برخی از مواد واسطه را تولید کند. گاهی اوقات، سمیت این مواد واسطه قوی‌تر از آلاینده‌های اصلی است. بنابراین، تجزیه و تحلیل مواد واسطه تولید شده ضروری است. در این مطالعه، مواد واسطه دیازینون توسط نانوکامپوزیت اکسید روی-پلی‌اتیلن ترفالات تحت شرایط آزمایشگاهی بهینه پس از 60 دقیقه تابش امواج مافق صوت با استفاده از GC-MS مورد تجزیه و تحلیل قرار گرفت. براساس تجزیه و تحلیل GC-MS، ترکیبات اصلی در مسیر تخریب سونوکاتالیستی دیازینون شامل دیازوکسون، ۲-ایزوپروپیل-۶-متیل-۴-پریمیدینول (IMP)، هیدروکسی دیازینون و دیازینون متیل کتون هستند، که شکل ساختاری این ترکیبات در جدول شماره ۴ قابل مشاهده است. در ابتدای واکنش سونوکاتالیستی از طریق اکسیداسیون باند $\text{P}=\text{S}$ به باند $\text{P}=\text{O}$ از طریق رادیکال‌های آزاد، دیازینون به دیازوکسان تبدیل می‌شود. سپس از طریق واکنش‌های هیدرولیز دیازینون و دیازوکسان از طریق شکستن باند $\text{O}-\text{P}$ (گروه‌های پریمیدین) IMP تولید می‌شود. هم‌چنین واکنش‌های هیدروکسیل دار کردن در فرآیندهای اکسیداسیون پیشرفت به منظور حذف دیازینون ضروری است و از طریق حمله هیدروکسیل (OH) به گروه عاملی (ایزوپروپیل) منجر به تشکیل هیدروکسی دیازینون می‌شود. سپس، ترکیب دیازینون متیل کتون از اکسیداسیون بیشتر هیدروکسی دیازینون حاصل می‌شود. در نهایت از تجزیه مولکول‌های دیازینون آب (H_2O) و کربن‌دی اکسید (CO_2) تولید می‌شود. بنابراین، می‌توان نتیجه گرفت استفاده از نانوکامپوزیت اکسید روی-

ارشد مهسا پور رحمتی- شیراز با کد کمیته اخلاق ایران، نویسنده‌گان از معاونت تحقیقات و فناوری و مرکز تحقیقات بهداشت و محیط زیست دانشگاه علوم پزشکی گیلان (GUMS)، رشت، ایران، بابت تمامی حمایت‌ها بابت این کار تشکر می‌کنند.

انرژی مصرفی در جهت حذف دیازینون از محیط‌های آبی استفاده کرد.

سیاست‌گزاری

مقاله حاضر حاصل از پایان نامه دانشجویی کارشناسی

References

1. Ghanbari F, Kiani Sadr M, Kouckakian M, Melhosseini Darani K. Diazinon Residues in Rice and Associated Health Risks for Human; A Case Study in Rasht, Iran. Journal of Advances in Environmental Health Research 2021; 9(2): 169-166 (Persian).
2. Dehghan S, Shakeri A, Tahergoorabi M, Dadban Shahamat Y. Synthesis of Zinc Oxide/ Reduced Graphene Oxide Nanocatalyst and Its Efficiency in Photocatalytic Degradation of Paraquat Herbicide. J Mazandaran Univ Med Sci 2021; 31(201): 39-58 (Persian).
3. Khodadadi M, Samadi MT, Rahmani AR, Maleki R, Allahresani A, Shahidi R. Determination of Organophosphorous and Carbamate Pesticides Residue in Drinking Water Resources of Hamadan in 2007. IJHE 2010; 2(4): 250-257 (Persian).
4. Paneru S, Kumar D. CeO₂ and PEDOT: PSS modified conducting paper for organophosphate pesticide detection. Journal of Applied Electrochemistry. 2024; 1-11.
5. Wang C, Shih Y. Degradation and detoxification of diazinon by sono-Fenton and sono-Fenton-like processes. Sep Purif Technol 2015; 140: 6-12.
6. Balela MDL, Vega GZD, Suyat YYA. Malathion Detection Using Molecularly-Imprinted Polymer Quartz Crystal Microbalance Sensor. Applied Mechanics and Materials 2024; 918(4): 147-154.
7. Rasoulifard MH, Akrami M, Eskandarian MR. Degradation of organophosphorus pesticide diazinon using activated persulfate: Optimization of operational parameters and comparative study by Taguchi's method. J Taiwan Inst Chem Eng 2015; 57: 77-90.
8. Zarei S, Ghafouri H, Vahdatirad L, Moghaddam VA, Sohrabi T, Heidari B. Using heat shock protein (HSP) inducers as an approach to increase the viability of sterlet (Pisces; Acipenseridae; *Acipenser ruthenus*) cells against environmental diazinon toxicity. J Hazard Mater 2024; 465: 133194.
9. Dianati Tilaki R, yazdani charati J, bavandi S. Efficiency of Modified Zeolite with Cationic Surfactant Hexadecyltrimethylammonium Bromide in Removal of Diazinon from Aqueous Solutions. J Mazandaran Univ Med Sci 2020; 29(182): 50-61 (Persian).
10. Júnior FER , Fernandes FA. Degradation of diazinon by dielectric barrier discharge plasma. J Environ Chem Eng 2024; 12(1): 111539.
11. Rodrigues FE, Fernandes FA. Diazinon degradation in water applying glow discharge plasma technology. Braz J Chem Eng 2024; 1-13.
12. Bazrafshan E, Mohammadi L, Balarak D, Keikhaei S, Mahvi AH. Optimization of diazinon removal from aqueous environments by electrocoagulation process using response

- surface methodology. *J Mazandaran Univ Med Sci* 2016; 26(138): 118-130 (Persian).
13. Shirzad-Siboni M, Khataee A, Vahid B, Joo SW. Synthesis, characterization and immobilization of ZnO nanosheets on scallop shell for photocatalytic degradation of an insecticide. *Science of Advanced Materials* 2015; 7(4): 806-814.
 14. Pandis PK, Kalogirou C, Kanellou E, Vaitsis C, Savvidou MG, Sourkouni G, et al. Key points of advanced oxidation processes (AOPs) for wastewater, organic pollutants and pharmaceutical waste treatment: A mini review. *ChemEngineering* 2022; 6(1): 8.
 15. Mahbub P, Duke M. Scalability of advanced oxidation processes (AOPs) in industrial applications: A review. *J Environ Manage* 2023; 345: 118861.
 16. Camargo-Perea AL, Rubio-Clemente A, Peñuela GA. Use of ultrasound as an advanced oxidation process for the degradation of emerging pollutants in water. *Water* 2020; 12(4): 1068.
 17. Meroni D, Djellabi R, Ashokkumar M, Bianchi CL, Boffito DC. Sonoprocessing: From concepts to large-scale reactors. *Chem Rev* 2021; 122(3): 3219-3258.
 18. Li Z, Dong J, Zhang H, Zhang Y, Wang H, Cui X, et al. Sonochemical catalysis as a unique strategy for the fabrication of nano-/micro-structured inorganics. *Nanoscale Adv* 2021; 3(1): 41-72.
 19. Kamani H, Nasseri S, Nabizadeh R, Khoobi M, Ashrafi D, Bazrafshan E, et al. Sonocatalytic oxidation of reactive blue 29 by N-doped TiO₂ from aqueous solution. *J Mazandaran Univ Med Sci* 2018; 28(166): 157-169 (Persian).
 20. Krishna S, Sathishkumar P, Pugazhenthiran N, Guesh K, Mangalaraja R, Kumaran S, et al. Heterogeneous sonocatalytic activation of peroxomonosulphate in the presence of CoFe₂O₄/TiO₂ nanocatalysts for the degradation of Acid Blue 113 in an aqueous environment. *J Environ Chem Eng* 2020; 8(5): 104024.
 21. Ghodke S, Sonawane S, Gaikawad R, Mohite K. TiO₂/Nanoclay nanocomposite for phenol degradation in sonophotocatalytic reactor. *The Canadian Journal of Chemical Engineering* 2012; 90(5): 1153-1159.
 22. Pang YL, Abdullah AZ, Bhatia S. Review on sonochemical methods in the presence of catalysts and chemical additives for treatment of organic pollutants in wastewater. *Desalination* 2011; 277(1-3): 1-14.
 23. Li X-q, Elliott DW, Zhang W-x. Zero-valent iron nanoparticles for abatement of environmental pollutants: materials and engineering aspects. *Crit Rev Solid State Mater* 2006; 31(4): 111-122.
 24. Li B, Liu T, Wang Y, Wang Z. ZnO/graphene-oxide nanocomposite with remarkably enhanced visible-light-driven photocatalytic performance. *J Colloid Interface Sci* 2012; 377(1): 114-121.
 25. Vinitha V, Preetyanghaa M, Vinesh V, Dhanalakshmi R, Neppolian B, Sivamurugan V. Two is better than one: Catalytic, sensing and optical applications of doped zinc oxide nanostructures. *Emergent Materials* 2021; 4(2): 1093-124.
 26. Gholami M, Farzadkia M, Zandsalimi Y, Sadeghi S, Abouee Mehrizi E. Efficacy of Cr-doped ZnO nanoparticles in removal of reactive black 5 dye from aqueous solutions in presence of solar radiation. *J Mazandaran Univ Med Sci* 2016; 26(141): 59-69 (Persian).
 27. Yu J, Yu X. Hydrothermal synthesis and photocatalytic activity of zinc oxide hollow

- spheres. *Environ Sci Technol* 2008; 42(13): 4902-4907.
28. Aslani H, Pashmtab P, Shaghaghi A, Mohammadpoorasl A, Taghipour H, Zarei M. Tendencies towards bottled drinking water consumption: Challenges ahead of polyethylene terephthalate (PET) waste management. *Health Promot Perspect* 2021; 11(1): 60-68.
29. Evode N, Qamar SA, Bilal M, Barceló D, Iqbal HM. Plastic waste and its management strategies for environmental sustainability. *Case Stud Chem Environ Eng* 2021; 4: 100142.
30. Yasin SA, Zeebaree SYS, Sharaf Zeebaree AY, Haji Zebari OI, Saeed IA. The Efficient Removal of Methylene Blue Dye Using CuO/PET Nanocomposite in Aqueous Solutions. *Catalysts* 2021; 11(2): 241.
31. Mohagheghian A, Hooshmand Rad S, Ayagh K, Shirzad-Siboni M. Photocatalytic Removal of Acid Blue 113 Dye from Aqueous Solutions Using Zinc Oxide-Kaolin Nanocomposite under Visible Light Irradiation. *J Mazandaran Univ Med Sci* 2022; 32(209): 146-162 (Persian).
32. APHA, AWWA, WEF. Standard Methods for the Examination of Water and Wastewater. 20th ed. Washington, DC: APHA;1999.
33. Jonidi-Jafari A, Shirzad-Siboni M, Yang J-K, Naimi-Joubani M, Farrokhi M. Photocatalytic degradation of diazinon with illuminated ZnO-TiO₂ composite. *J Taiwan Inst Chem Eng* 2015; 50: 100-107.
34. Farrokhi M, Hosseini S-C, Yang J-K, Shirzad-Siboni M. Application of ZnO-Fe₃O₄ nanocomposite on the removal of azo dye from aqueous solutions: kinetics and equilibrium studies. *Water Air Soil Pollut* 2014; 225: 1-12.
35. Pourrahmati-Shiraz M, Mohagheghian A, Shirzad-Siboni M. Synthesis of ZnO immobilized on recycled polyethylene terephthalate for sonocatalytic removal of Cr (VI) from synthetic, drinking waters and electroplating wastewater. *J Environ Manage* 2022; 324: 116395.
36. Premalatha N, Miranda LR. Surfactant modified ZnO-Bi₂O₃ nanocomposite for degradation of lambda-cyhalothrin pesticide in visible light: A study of reaction kinetics and intermediates. *J Environ Manage* 2019; 246: 259-266.
37. Ali MK, Ibrahim K, Hamad OS, Eisa M, Faraj M, Azhari F. Deposited indium tin oxide (ITO) thin films by dc-magnetron sputtering on polyethylene terephthalate substrate (PET). *Rom J Phys* 2011; 56(5-6): 730-741.
38. Silva E, Fedel M, Deflorian F, Cotting F, Lins V. Properties of post-consumer polyethylene terephthalate coating mechanically deposited on mild steels. *Coatings* 2019; 9(1): 28.
39. Babu KS, Narayanan V. Hydrothermal synthesis of hydrated zinc oxide nanoparticles and its characterization. *Chem Sci Trans* 2013; 2(S1): S33-S36.
40. Hong R, Li J, Chen L, Liu D, Li H, Zheng Y, et al. Synthesis, surface modification and photocatalytic property of ZnO nanoparticles. *Powder Technol* 2009; 189(3): 426-432.
41. Tabasideh S, Maleki A, Shahmoradi B, Ghahremani E, McKay G. Sonophotocatalytic degradation of diazinon in aqueous solution using iron-doped TiO₂ nanoparticles. *Sep Purif Technol* 2017; 189: 186-192.
42. Daneshvar N, Aber S, Dorraji MS, Khataee A, Rasoulifard M. Photocatalytic degradation of the insecticide diazinon in the presence of prepared nanocrystalline ZnO powders under irradiation of UV-C light. *Sep Purif Technol* 2007; 58(1): 91-98.

43. Guo R, Jiao T, Li R, Chen Y, Guo W, Zhang L, et al. Sandwiched Fe₃O₄/carboxylate graphene oxide nanostructures constructed by layer-by-layer assembly for highly efficient and magnetically recyclable dye removal. *ACS Sustainable Chem Eng* 2018; 6(1): 1279-1288.
44. Jyothi K, Yesodharan S, Yesodharan E. Ultrasound (US), Ultraviolet light (UV) and combination(US+UV) assisted semiconductor catalysed degradation of organic pollutants in water: Oscillation in the concentration of hydrogen peroxide formed in situ. *Ultrason Sonochem* 2014; 21(5): 1787-1796.
45. Yang J-K, Lee S-M. Removal of Cr (VI) and humic acid by using TiO₂ photocatalysis. *Chemosphere* 2006; 63(10): 1677-1684.
46. Goel M, Hongqiang H, Mujumdar AS, Ray MB. Sonochemical decomposition of volatile and non-volatile organic compounds—a comparative study. *Water Res* 2004; 38(19): 4247-4261.
47. Daneshvar N, Rasoulifard MH, Khataee AR, Hosseinzadeh F. Removal of C.I. Acid Orange 7 from aqueous solution by UV irradiation in the presence of ZnO nanopowder. *J Hazard Mater* 2007; 143(1-2): 95-101.
48. Kazemizad L, Ghaffari Y, Kermani M, Farzadkia M, Hajizadeh A. Investigation of Photo-Fenton-Like Process Efficiency in Diazinon Pesti-cide Removal from Aqueous Solutions. *Journal of Safety, Environment, and Health Research* 2016; 1(1): 17-22.
49. Jonidi-Jafari A, Shirzad-Siboni M, Yang J-K, Naimi-Joubani M, Farrokhi M. Photocatalytic degradation of diazinon with illuminated ZnO-TiO₂ composite. *J Taiwan Inst Chem Eng* 2015; 50: 100-107.
50. Adams WA, Impellitteri CA. The photocatalysis of N, N-diethyl-m-toluamide (DEET) using dispersions of Degussa P-25 TiO₂ particles. *J Photochem Photobiol A: Chem* 2009; 202(1): 28-32.
51. Hussen A. PANI/g-C₃N₄/CeO₂ nanocomposite for photodegradation of diazinon in aqueous solution. *Middle East Journal of Applied Science & Technology* 2021; 4(1): 1-22.
52. Zhang H, Qiao J, Li G, Zhang M, Li S, Wang J, et al. Construction of coated Z-scheme Pd-BaZrO₃@ WO₃ composite with enhanced sonocatalytic activity for diazinon degradation in aqueous solution. *Sci Total Environ* 2019; 663: 97-109.
53. Khataee A, Saadi S, Safarpour M, Joo SW. Sonocatalytic performance of Er-doped ZnO for degradation of a textile dye. *Ultrason Sonochem* 2015; 27: 379-388.
54. Jorfi S, Kakavandi B, Motlagh HR, Ahmadi M, Jaafarzadeh N. A novel combination of oxidative degradation for benzotriazole removal using TiO₂ loaded on Fe^{II}Fe₂^{III}O₄@ C as an efficient activator of peroxymonosulfate. *Applied Catalysis B: Environmental* 2017; 219: 216-230.
55. Geng N, Chen W, Xu H, Ding M, Xie Z, Wang A. Removal of tetracycline hydrochloride by Z-scheme heterojunction sono-catalyst acting on ultrasound/H₂O₂ system. *Process Saf Environ Prot* 2022; 165: 261-272 .
56. Naimi-Joubani M, Ayagh K, Tahergorabi M, Shirzad-Siboni M, Yang J-K. Design and modeling of diazinon degradation in hydrous matrix by Ni-doped ZnO nanorods under ultrasonic irradiation: process optimization using RSM (CCD), kinetic study, reaction pathway, mineralization, and toxicity assessment. *Environ Sci Pollut Res Int* 2023; 30(2): 3527-3548.
57. Kalantar S, Bemani A, Sayadi MH, Chamanehpour E. Visible light-driven

- ZnO/Fe₃O₄ magnetic nanoparticles for detoxification of diazinon: the photocatalytic optimization process with RSM-BBD model. Environ Sci Pollut Res Int 2023; 30(42): 95634-95647.
58. Salarian A-A, Hami Z, Mirzaei N, Mohseni SM, Asadi A, Bahrami H, et al. N-doped TiO₂ nanosheets for photocatalytic degradation and mineralization of diazinon under simulated solar irradiation: Optimization and modeling using a response surface methodology. J Mol Liq 2016; 220: 183-191.
59. Maleki A, Moradi F, Shahmoradi B, Rezaee R, Lee S-M. The photocatalytic removal of diazinon from aqueous solutions using tungsten oxide doped zinc oxide nanoparticles immobilized on glass substrate. J Mol Liq 2020; 297: 111918.
60. Phuong NM, Chu NC, Van Thuan D, Ha MN, Hanh NT, Viet HDT, et al. Novel removal of diazinon pesticide by adsorption and photocatalytic degradation of visible light-driven Fe-TiO₂/Bent-Fe photocatalyst. Journal of Chemistry 2019; 2019: 1-7.
61. Ahmadifard T, Heydari R, Tarrahi MJ, Khorramabadi GS. Photocatalytic degradation of diazinon in aqueous solutions using immobilized MgO nanoparticles on concrete. Int J Chem React Eng 2019; 17(9): 20180154.
62. Mohagheghian A, Karimi S-A, Yang J-K, Shirzad-Siboni M. Photocatalytic degradation of diazinon by illuminated WO₃ nanopowder. Desalination and Water Treatment 2016; 57(18): 8262-8269.
63. Jonidi-Jafari A, Shirzad-Siboni M, Yang J-K, Naimi-Joubani M, Farrokhi M. Photocatalytic degradation of diazinon with illuminated ZnO-TiO₂ composite. J Taiwan Inst Chem Eng 2015; 50:100-107.
64. Tizro N, Moniri E, Saeb K, Ahmad Panahi H, Sobhanardakani S. Grafting β -Cyclodextrin/allyle glycidyl ether/thermosensitive containing polymer onto modified Fe₃O₄@ SiO₂ for adsorption of diazinon from aqueous solution. J Environ Anal Chem 2023; 103(1): 123-139.
65. Shang J, Zong M, Yu Y, Kong X, Du Q, Liao Q. Removal of chromium (VI) from water using nanoscale zerovalent iron particles supported on herb-residue biochar. J Environ Manage 2017; 197: 331-337.
66. Khan S, Han C, Sayed M, Sohail M, Jan S, Sultana S, et al. Exhaustive photocatalytic lindane degradation by combined simulated solar light-activated nanocrystalline TiO₂ and inorganic oxidants. Catalysts 2019; 9(5): 425.
67. Malakootian M, Shahamat YD, Mahdizadeh H. Novel catalytic degradation of Diazinon with ozonation/mg-Al layered double hydroxides: optimization, modeling, and dispersive liquid-liquid microextraction. J Environ Health Sci Eng 2021; 19(2): 1299-1311.